

# НАУЧНО-ТЕХНИЧЕСКИЙ

## РАЗДЕЛ

УДК 669.15-194.56:621.039.548.34

### Анализ влияния вида напряженного состояния на радиационное распухание и радиационную ползучесть аустенитных сталей

Б. З. Марголин<sup>a</sup>, А. И. Мурашова<sup>a</sup>, В. С. Неустроев<sup>b</sup>

<sup>a</sup> ФГУП ЦНИИ КМ “Прометей”, Санкт-Петербург, Россия

<sup>b</sup> ОАО “ГНЦ НИИАР”, Димитровград, Россия

*Представлены результаты анализа экспериментальных данных по оценке влияния вида напряженного состояния на радиационное распухание аустенитных сталей. Сформулировано определяющее уравнение, позволяющее описывать влияние объемного напряженного состояния на распухание аустенитных сталей с учетом различных вкладов шаровой и девиаторной компонент напряжений. Предложена физическая интерпретация полученной зависимости радиационного распухания от напряженного состояния. Уточнена зависимость радиационной ползучести от распухания с учетом напряженного состояния. Определены значения коэффициентов, входящих в сформулированное определяющее уравнение и в зависимость радиационной ползучести.*

**Ключевые слова:** напряженное состояние, радиационное распухание, аустенитные стали, радиационная ползучесть.

**Введение.** Известно, что внутрикорпусные устройства (ВКУ) реакторов на медленных нейтронах типа ВВЭР и на быстрых нейтронах типа БН, изготавливаемые из аустенитных хромоникелевых сталей, подвергаются интенсивному нейтронному облучению. Максимальная температура облучения ВКУ ВВЭР-1000 может превышать 400°C [1], ВКУ реакторов типа БН – 550°C [2]. Для ВКУ ВВЭР-1000 за срок эксплуатации 60 лет максимальная повреждающая доза достигает 100 сна [1], для ВКУ БН-600 за 45 лет она выше 50 сна [2]. При указанных повреждающих дозах и температурах облучения аустенитные стали претерпевают радиационное распухание, что может приводить к значительной деградации материала, например снижению пластичности и трещиностойкости [3–8], а также реализации  $\gamma \rightarrow \alpha$ -фазового превращения, вызывающего резкое охрупчивание материала [3–6]. Кроме того, распухание способствует изменению размеров элементов ВКУ и, как следствие, возможному нарушению их нормального ориентирования.

Ввиду неравномерной температуры и неоднородности облучения различные зоны элемента ВКУ подвергаются разному распуханию. Градиент распухания приводит к существенным внутренним напряжениям в элементах ВКУ. При нормальном режиме эксплуатации реактора напряжения от распухания и

термические напряжения являются основными рабочими напряжениями, приводящими к повреждению элемента ВКУ, так как напряжения от массовых нагрузок очень малы, а напряжения от различного рода динамических нагрузок при рассматриваемом режиме не возникают.

Как было отмечено выше, материал в составе элемента ВКУ распухает в стесненных условиях, порождающих напряжения. Возникает вопрос, как влияют напряжения на распухание материала. Для его решения многие исследователи проводили эксперименты по определению распухания газонаполненных трубок под давлением, облучаемых в реакторе [9–18]. Для определения влияния, собственно, напряжений на распухание одновременно с газонаполненными трубками облучению подвергали трубы без давления.

Результаты обработки такого рода экспериментов позволили получить зависимость в виде [11–17]

$$S = S_0 \left( 1 + P_1 \frac{\sigma_\theta}{2} \right), \quad (1)$$

где  $S$  – распухание при наличии растягивающих окружных  $\sigma_\theta$  и осевых напряжений (в трубе  $\sigma_z = \sigma_\theta/2$ );  $S_0$  – распухание при отсутствии напряжений, так называемое свободное распухание;  $P_1$  – константа материала, в общем случае зависящая от температуры облучения.

Из уравнения (1) следует, что растягивающие напряжения увеличивают распухание. О том, как влияют сжимающие напряжения на распухание, эксперименты с газонаполненными трубками не дают никакого ответа. В то же время делается предположение, что на распухание влияет гидростатическая компонента напряжений  $\sigma_m$ . Для газонаполненных трубок имеем  $\sigma_m = \sigma_\theta/2$ . Именно поэтому в формуле (1) в качестве параметра, характеризующего напряжение в материале, используется величина  $\sigma_\theta/2$ .

Закономерности распухания austenитных сталей в нестесненных условиях, т.е. при отсутствии напряжений, достаточно хорошо изучены [19–33]. Получены уравнения, описывающие свободное распухание (без напряжений) от повреждающей дозы и температуры облучения [22–34]. В частности, ранее [34] на основании обобщения большой базы экспериментальных данных такие уравнения получены для сталей типа X18H9 и 08X18H10T.

В настоящее время известно очень мало экспериментальных работ, посвященных исследованию влияния знака напряжений на распухание. В некоторых из них сделан вывод, что знак напряжений не влияет на радиационное распухание материала, т.е. ускорение распухания наблюдается как при растягивающих, так и сжимающих напряжениях [35–37]. Например, в [37] исследовали образцы в виде пластин, которые предварительно подвергались изгибу и затем облучались в реакторе EBR-II. При облучении были зафиксированы перемещения, приводящие к изгибу пластин. Полученные результаты показали, что радиационное распухание материала пластины со стороны сжатия и со стороны растяжения было одинаковым, но большим, чем в ненагруженном материале. Установлено [37], что на распухание влияет только уровень напряжений, а их знак не влияет. Такое заключение, с нашей точки зрения, связано

с некорректной трактовкой экспериментальных данных. В действительности при наличии градиента распухания по толщине пластины происходит перераспределение напряжений в процессе облучения. Дополнительное изменение напряжений при распухании возникает вследствие изменения нагрузок в местах фиксации перемещений в процессе облучения. Ранее [34] были оценены напряжения, действующие в пластине к концу облучения. В качестве исходной информации заданы распределения распухания по толщине пластины. Расчеты показывают, что перераспределение напряжений могло быть столь существенным, что напряжения у поверхности обеих сторон пластины стали практически одинаковыми и сжимающими.

Таким образом, экспериментальные результаты, полученные на образцах, в которых напряжения изменяются при распухании материала, весьма сложно интерпретировать.

Тем не менее в настоящее время существуют две гипотезы о влиянии напряжений на распухание. Первая – предполагает, что знак напряжений влияет на распухание, вторая – что знак не влияет, а влияет только абсолютный уровень напряжений. Используя ту или иную гипотезу, можно получить принципиально различную картину напряженного состояния распухания элемента ВКУ.

Рассмотрим в качестве примера толстостенный элемент ВКУ ВВЭР-1000 – выгородку реактора, представляющую собой толстостенную обечайку. За счет  $\gamma$ -разогрева наибольшая температура облучения в выгородке будет в толще металла,  $T_{обл} \cong 400^{\circ}\text{C}$ . По мере приближения к поверхности обечайки температура уменьшается до  $320^{\circ}\text{C}$  [1]. В месте максимума температур реализуется максимальное распухание, что приводит к возникновению сжимающих напряжений. Ближе к поверхности обечайки возникают растягивающие напряжения.

Если распухание происходит согласно первой гипотезе, в области сжимающих напряжений темп распухания будет падать, в области растягивающих – увеличиваться. В результате при заданной дозе градиент распухания по толщине обечайки и уровень напряжений будут меньше, чем если бы напряжения не влияли на распухание.

Если распухание происходит согласно второй гипотезе, то появление напряжений приведет к увеличению темпа распухания и, как следствие, к еще большим напряжениям. В результате при заданной дозе градиент распухания и уровень напряжений будут больше, чем при отсутствии влияния напряжений на распухание.

Как видно, закон влияния напряжений на распухание играет существенную роль в оценке напряженно-деформированного состояния (НДС) элементов ВКУ.

Известна работа [38], содержащая ценнейшие экспериментальные данные по оценке влияния различного вида напряженного состояния на радиационное распухание стали 304L. Эксперименты поставлены таким образом, чтобы при распухании материала напряженное состояние образца не менялось. В [39] предложена система определяющих уравнений для расчета НДС элементов конструкций, достаточно хорошо описывающая экспериментальные данные, представленные в [38].

К сожалению, использовать эту систему весьма сложно, в первую очередь из-за большого количества параметров, которые экспериментально определяются при проведении внутриреакторных испытаний, а также необходимости определения значений некоторых коэффициентов (например, “plastic Poisson’s ratio”) как функций микроструктурных параметров облученного материала. Причем эти параметры зависят от дозы и температуры облучения.

Целью настоящей работы является определение зависимостей, описывающих влияние вида напряженного состояния на радиационное распухание аустенитных сталей на основе анализа и обобщения имеющихся в [38] и других работах экспериментальных данных и радиационную ползучесть аустенитных сталей.

**1. Постановка задачи.** При анализе влияния напряжений на распухание возникает вопрос, в каком виде представлять напряжения в случае неоднородного напряженного состояния.

Как известно, напряжение – тензорная величина, распухание – скалярная. Следовательно, на распухание влиять могут скалярные инварианты тензора напряжений. Два из них имеют ясный физический смысл: гидростатическое напряжение  $\sigma_m$  и интенсивность напряжений  $\sigma_{eq}$ .

В связи с изложенным при исследовании влияния напряжений на распухание любое напряженное состояние целесообразно представлять двумя параметрами:  $\sigma_m$  и  $\sigma_{eq}$ .

Ясно, что в первой гипотезе в качестве основного и единственного параметра рассматривается  $\sigma_m$ , во второй –  $\sigma_{eq}$ .

В общем случае влияние напряжений на распухание может выражаться в виде функции влияния от двух параметров:  $f(\sigma_m, \sigma_{eq})$ .

Следующим моментом является выбор вида уравнения, описывающего влияние напряжений на распухание. С нашей точки зрения, для построения простой модели уравнение может быть принято в виде, аналогичном (1):

$$S = S_0(1 + Pf(\sigma_m, \sigma_{eq})), \quad (2)$$

где  $P$  – константа материала.

**2. Анализируемые экспериментальные данные.** Анализируемые данные по оценке влияния напряжений на радиационное распухание были получены при облучении образцов в экспериментальном ядерном реакторе-размножителе EBR-II в 1977–1979 гг. в рамках национальной программы США. Однако из-за сокращения финансирования и свертывания программы эти данные не приводились в открытой литературе вплоть до 2010 г. [38].

Влияние напряжений на распухание  $S$  исследовали на предварительно облученных трубчатых образцах из отожженной стали 304L. Предварительное облучение было необходимо для достижения установившегося распухания, при котором скорость распухания  $\Delta S / \Delta D$  можно рассматривать в качестве константы, не зависящей от дозы  $D$ , начиная с 13,5 сна [38]. Химический состав образцов (вес.%) [38] следующий: 1,66 Mn; 0,016 P; 0,014 S; 0,59 Si; 10,6 Ni; 18,3 Cr; <0,01 Ti; 0,02 Mo; 0,03 C (Cu и Co отсутствуют).

Образцы были сконструированы таким образом, что при их распухании уровень действующих напряжений не изменялся. Три одноосных и три двух-

осных напряженных состояния исследуемых трубчатых образцов создавались внутренним давлением и осевой силой [38]. В качестве обозначения вида напряженного состояния использовали отношение окружного напряжения образца к осевому напряжению (например, 0/1 – осевое растяжение: действует только осевое напряжение, а окружное равно нулю).

Вместе с образцами под напряжением повторному облучению подвергали предварительно облученные образцы без напряжений для определения свободного распухания  $S_0$ . Предварительное облучение всех образцов проводили при температурах, называемых далее начальными,  $T_h = 438\ldots497^\circ\text{C}$  до доз (начальные)  $D_h = 16,3\ldots34,1$  сна.

В табл. 1 приведены следующие параметры эксперимента по определению радиационного распухания и радиационной ползучести образцов под напряжением: тип напряженного состояния; номер образца; скорость набора дозы  $dD/dt$ ; начальная доза  $D_h$  (набранная образцом без напряжений при предварительном облучении); прирост дозы  $\Delta D$  (прирост дозы за время повторного облучения образцов под напряжением); начальная температура повторного облучения (равна температуре предварительного облучения)  $T_h$ ; конечная температура повторного облучения  $T_k$ ; интенсивность напряжений  $\sigma_{eq}$  и гидростатическое напряжение  $\sigma_m$  в образцах. Там же представлены результаты эксперимента: относительное изменение длины  $\Delta L/L$  и диаметра образцов  $\Delta d/d$ ; начальное  $S_h$  и конечное  $S_k$  полные распухания образцов; отношение изменения полного распухания к изменению дозы  $\Delta S/\Delta D$ ; отношение изменения полного распухания, вызванного напряжениями, к изменению свободного распухания за один и тот же прирост дозы  $\Delta S_\sigma/\Delta S_0$ . Распухание, вызванное напряжениями, будет  $S_\sigma = S - S_0$ . Начальное полное распухание  $S_h$  получено после предварительного облучения образцов (в отсутствие напряжений), конечное полное распухание  $S_k$  измеряли после повторного облучения образцов (под действием напряжений). Для определения вызванного напряжениями приращения распухания  $\Delta S_\sigma$  из конечного полного распухания  $S_k$  вычитали свободное распухание образца после повторного облучения  $S_{0k}$ , т.е.  $\Delta S_\sigma = S_k - S_{0k}$ . Приращение свободного распухания  $\Delta S_0$  вычисляли по формуле  $\Delta S_0 = S_{0k} - S_h$ . В двух последних колонках табл. 1 представлены нормированные по  $\Delta S_0$  значения изменения осевой  $\Delta e'_L$  и окружной  $\Delta e'_d$  девиаторной компоненты деформации ползучести ( $\Delta e'_L/\Delta S_0$  и  $\Delta e'_d/\Delta S_0$  соответственно).

Распухание измеряли методом гидростатического взвешивания.

Следует отметить, что изменение температуры в процессе повторного облучения в нагруженных образцах и образцах без напряжений было практически идентичным. Поэтому различие в приращении распухания в этих образцах за время повторного облучения может быть вызвано исключительно влиянием напряжений, а не температуры облучения.

При измерении диаметра облученных образцов обнаружено, что полученные значения существенно отличаются от среднего, что обусловлено взаимодействием образцов с проволочной оберткой, отделяющей их от капсулы, в которой их облучали. Типичное отклонение значений диаметра через  $20^\circ$  на каждой из четырех осевых позиций, на которые условно была разбита длина образца, составляет 0,072 мм, или 0,94% среднего значения диаметра, в

то время как типичное отклонение значений длины – 0,0063 мм, или 0,082% среднего значения длины. Типичные значения  $2\sigma$ -отклонений составляют: 0,016 для окружной деформации, 0,00081 для осевой деформации и 0,00049 для распухания [38].

Т а б л и ц а 1

**Параметры и результаты эксперимента по определению радиационного распухания и радиационной ползучести образцов под напряжением для различных видов напряженного состояния [38]**

Тип напряженного состояния	№ образца	$dD/dt$ , $10^{-7}$ сна/с	$D_h$ , сна	$\Delta D$ , сна	$T_h$ , °C	$T_k$ , °C	$\sigma_{eq}$ , МПа	$\sigma_m$ , МПа
1/-1	21	2,43	26,1	3,99	459	535,5	147,3	-2,50
1/-1	22	3,79	22,5	6,22	486	551,7	53,3	-0,91
1/-1	23	3,37	20,0	5,53	489	546,6	53,0	-0,90
2/1	31	3,45	23,3	5,66	475	549,2	60,1	30,74
2/1	32	2,88	21,1	4,72	438	514,7	113,8	58,24
0/1	42	3,87	22,6	6,34	489	554,4	57,0	19,00
0/1	43	3,87	19,0	6,34	490	557,5	57,2	19,07
1/0	62	3,45	29,3	5,66	460	538,5	148,4	47,08
0/-1	51	3,12	30,2	5,11	490	542,9	152,3	-50,76
0/-1	52	3,37	28,0	5,53	463	546,6	56,5	-18,82
0/-1	53	3,37	23,7	5,53	497	535,9	55,7	-18,57
0/-1	55	3,12	25,1	5,11	490	525,4	108,3	-36,09
1/1	71	3,27	33,6	5,36	455	548,3	87,1	52,08
1/1	72	3,53	30,7	5,78	481	541,2	43,9	26,27

Тип напряженного состояния	№ образца	$\frac{\Delta L}{L}$	$\frac{\Delta d}{d}$	$S_h$	$S_k$	$\frac{\Delta S}{\Delta D}$ , сна $^{-1}$	$\frac{\Delta S_\sigma}{\Delta S_0}$	$\frac{\Delta e'_L}{\Delta S_0}$	$\frac{\Delta e'_d}{\Delta S_0}$
1/-1	21	-0,00153	0,00822	0,0683	0,0793	0,00275	0,3717	-0,6484	0,5701
1/-1	22	0,00332	0,00800	0,0479	0,0650	0,00275	0,0805	-0,1541	0,1479
1/-1	23	0,00382	0,00699	0,0290	0,0454	0,00296	0,1644	-0,1141	0,1070
2/1	31	0,00555	0,00741	0,0468	0,0634	0,00294	0,4623	0,0105	0,1637
2/1	32	0,00690	0,01001	0,0393	0,0593	0,00425	1,4693	0,0263	0,4094
0/1	42	0,01074	0,00411	0,0488	0,0716	0,00360	0,3861	0,1900	-0,2125
0/1	43	0,00937	0,00335	0,0272	0,0447	0,00276	0,2852	0,2600	-0,1823
1/0	62	0,00796	0,02118	0,0863	0,1155	0,00517	1,4688	-0,1510	0,9640
0/-1	51	-0,01068	0,00352	0,0829	0,0882	0,00102	-0,7096	-0,6892	0,0986
0/-1	52	0,00073	0,00319	0,0787	0,0874	0,00157	-0,1044	-0,2233	0,0303
0/-1	53	0,00296	0,00595	0,0557	0,0769	0,00384	-0,0271	-0,1888	-0,0515
0/-1	55	-0,00218	0,00000	0,0716	0,0891	0,00344	-0,2027	-0,2197	-0,1210
1/1	71	0,00851	0,00601	0,0921	0,1079	0,00295	1,2682	0,4499	0,1032
1/1	72	0,00768	0,00965	0,0908	0,1172	0,00457	0,4005	-0,0596	0,0446

Поскольку значения относительного изменения диаметра  $\Delta d/d$  образцов меньше значения  $2\sigma$ -интервала для окружной деформации (0,016), за исключением одного образца (№ 62), представленные значения изменения окружной  $\Delta e'_d$  компоненты деформации ползучести, отнесенные к изменению свободного распухания  $\Delta S_0$ , не корректны и не используются при обработке экспериментальных данных, представленных в табл. 1.

**3. Обработка экспериментальных данных по радиационному распуханию.** Представим формулу (2) в виде

$$S = S_0 + S_\sigma, \quad (3)$$

где

$$S_\sigma = S_0 Pf(\sigma_m, \sigma_{eq}). \quad (4)$$

Уравнение (4) запишем следующим образом:

$$\frac{\Delta S_\sigma}{\Delta S_0} = Pf(\sigma_m, \sigma_{eq}). \quad (5)$$

Рассмотрим применимость второй гипотезы к описанию приведенных в табл. 1 экспериментальных данных. Для этого проверим, описываются ли экспериментальные данные уравнением (5) при допущении, что  $f(\sigma_m, \sigma_{eq}) = \sigma_{eq}$ . На рис. 1 представлены значения  $\Delta S_\sigma / \Delta S_0$  как функция значений  $\sigma_{eq}$ . Коэффициент детерминации  $R^2$  между экспериментальными точками и уравнением (5) мал и составляет 0,02, что свидетельствует об отсутствии связи между переменными. Следовательно, можно заключить, что вторая гипотеза о невлиянии знака напряжений на распухание не описывает экспериментальные данные и может быть отклонена.

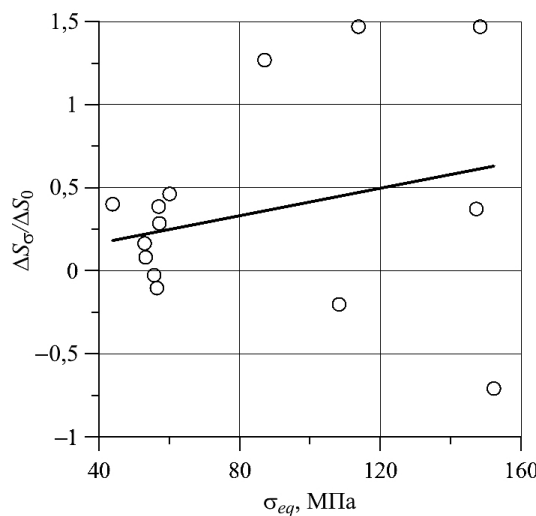


Рис. 1. Зависимость  $\Delta S_\sigma / \Delta S_0$  от интенсивности напряжений  $\sigma_{eq}$ . (Точки – экспериментальные данные, использованные из табл. 1; сплошная линия – аппроксимация экспериментальных данных уравнением (5) при  $f(\sigma_m, \sigma_{eq}) = \sigma_{eq}$ .)

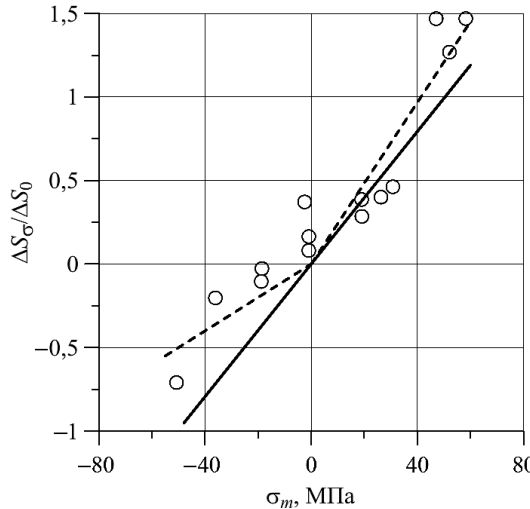


Рис. 2. Зависимость  $\Delta S_\sigma / \Delta S_0$  от гидростатического напряжения  $\sigma_m$ . (Точки – экспериментальные данные, использованные из табл. 1; сплошная линия – аппроксимация экспериментальных данных уравнением (5) при  $f(\sigma_m, \sigma_{eq}) = \sigma_m$ ; штриховая – то же при допущении, что при  $\sigma_m > 0$  и  $\sigma_m < 0$  значение коэффициента  $P$  различается.)

Теперь рассмотрим применимость первой гипотезы к описанию экспериментальных данных. Для этого в уравнении (5) примем, что  $f(\sigma_m, \sigma_{eq}) = \sigma_m$ . На рис. 2 представлены значения  $\Delta S_\sigma / \Delta S_0$  как функция значений  $\sigma_m$ .

Коэффициент детерминации  $R^2$  между экспериментальными точками и уравнением (5) при условии, что  $P$  не зависит от знака  $\sigma_m$ , составляет 0,76, при условии, что  $P$  зависит от знака  $\sigma_m$  – 0,84 для значений  $\sigma_m > 0$  и 0,65 для  $\sigma_m < 0$ . Полученные результаты говорят о достаточно хорошем описании экспериментальных данных уравнением (5) при  $f(\sigma_m, \sigma_{eq}) = \sigma_m$ , в том числе, если  $P$  зависит от знака  $\sigma_m$ .

Из рис. 2 видно, что аппроксимирующие прямые при  $\sigma_m > 0$  и  $\sigma_m < 0$  имеют разный угол наклона к оси абсцисс: при растягивающем напряжении ( $\sigma_m > 0$ ) абсолютная скорость распухания больше, чем при сжимающем ( $\sigma_m < 0$ ), т.е. существует значимое влияние знака напряжений на темп распухания. Кроме того, при  $\sigma_m \approx 0$  имеет место значительное распухание  $\Delta S_\sigma$  вследствие действия касательных напряжений. На основании полученных данных безоговорочно принять первую гипотезу нельзя в связи со следующими обстоятельствами. Напряжения сильно влияют на рост пор в результате диффузии вакансий. Направление потока вакансий, обусловленного наличием напряжений, зависит от знака напряжений. При растягивающих напряжениях поток направлен к поре, при сжимающих – от поры [40–43]. При одном и том же уровне напряжений и различном их знаке (растяжение и сжатие) мощность потока вакансий будет одинакова, но иметь противоположное направление. Поэтому, если принять, что на распухание влияет только гидростатическая компонента напряжений, а распухание  $S_\sigma$  обусловлено только диффузией вакансий под действием растягивающих напряжений (притоком вакансий) или сжимающих (оттоком вакансий), зависимость  $\Delta S_\sigma / \Delta S_0 = f(\sigma_m)$  должна быть нечетной функцией, т.е.  $(\Delta S_\sigma / \Delta S_0)(\sigma_m) = |(\Delta S_\sigma / \Delta S_0)(-\sigma_m)|$ .

Как видно из рис. 2, при  $\sigma_m < 0$  влияние  $\sigma_m$  на  $\Delta S_\sigma / \Delta S_0$  слабее, чем при  $\sigma_m > 0$ . Это может свидетельствовать о влиянии на распухание не только  $\sigma_m$ , но и  $\sigma_{eq}$ , что подтверждается наличием ненулевых значений  $\Delta S_\sigma / \Delta S_0$  при  $\sigma_m \approx 0$ .

Предположим, что на распухание влияет некоторое эффективное напряжение  $\sigma_{eff} = (1 - \eta)\sigma_m + \eta\sigma_{eq}$ , где  $\eta$  – коэффициент, определяющий степень влияния  $\sigma_m$  и  $\sigma_{eq}$  на распухание (при  $\eta = 0$  имеет место первая гипотеза о влиянии напряжений на распухание, при  $\eta = 1$  – вторая гипотеза). При  $\sigma_m > 0$  модуль эффективного напряжения  $|\sigma_{eff}|$  будет больше, чем при  $\sigma_m < 0$ , при условии, что в обоих случаях величина  $|\sigma_m|$  одна и та же. В этом случае возможна ситуация, когда зависимость  $\Delta S_\sigma / \Delta S_0 = f(\sigma_{eff})$  будет единой как при  $\sigma_m > 0$ , так и при  $\sigma_m < 0$ .

Таким образом, полученную на рис. 2 “асимметричность” влияния  $\sigma_m$  можно “исправить”, если ввести понятие “эффективного напряжения” и  $f(\sigma_m, \sigma_{eq})$  принять в виде  $(1 - \eta)\sigma_m + \eta\sigma_{eq}$ .

На рис. 3 представлены значения  $\Delta S_\sigma / \Delta S_0$  как функция значений  $\sigma_{eff}$ , отвечающая зависимости (5) при  $f(\sigma_m, \sigma_{eq}) = (1 - \eta)\sigma_m + \eta\sigma_{eq}$ . Коэффициенты  $P$  и  $\eta$  в уравнении (5) определены методом наименьших квадратов:  $P = 20,7 \cdot 10^{-3}$  МПа $^{-1}$ ,  $\eta = 0,15$ .

Видно, что экспериментальные данные очень хорошо описываются зависимостью (5) при введении  $f(\sigma_m, \sigma_{eq}) = \sigma_{eff}$  (рис. 3). Коэффициент детерминации  $R^2$  между экспериментальными точками и уравнением (5) весьма высокий и составляет 0,93.

Таким образом, влияние напряжений на радиационное распухание может быть адекватно описано уравнением (5) при введении в качестве  $f(\sigma_m, \sigma_{eq})$  эффективных напряжений  $\sigma_{eff} = (1 - \eta)\sigma_m + \eta\sigma_{eq}$ , где  $\eta$  – константа материала, в общем случае зависящая от величины распухания. Из рис. 3,б хорошо видно, что  $\sigma_{eff}$  и уравнение (5) позволяют описать влияние различных видов напряженного состояния (растяжение, сжатие, двухосное растяжение, кручение) на радиационное распухание.

Следует отметить, что значение коэффициента  $\eta$  можно определить только на основании экспериментальных данных о влиянии различных видов напряженного состояния на распухание. При известном значении  $\eta$  коэффициент  $P$  может быть определен из достаточно простых опытов: исследование распухания материала газонаполненных трубок.

Определим значение  $P$  на основании известных экспериментальных данных [12, 44–47]. В табл. 2 приведены значения коэффициента  $P_1$  в формуле (1), полученные из эксперимента по распуханию материала газонаполненных трубок.

Связь между  $P$  и  $P_1$  может быть получена при условии, что расчет по формулам (1) и (2) должен давать один и тот же результат при одних и тех же значениях осевой  $\sigma_z$  и окружной  $\sigma_\theta$  компонент напряжений, действующих в газонаполненной трубке.

Тогда можно записать

$$P_1\sigma_m = P((1 - \eta)\sigma_m + \eta\sigma_{eq}). \quad (6)$$

Таблица 2

**Коэффициенты  $P_1$  и  $P$  в зависимостях радиационного распухания от напряжений (1) и (2) для разных марок austenитных сталей в аустенитизированном состоянии, облученных при различных температурах и повреждающих дозах**

Марка стали	Температура облучения, °C	Повреждающая доза, сна	$P_1$ , $10^{-3}$ МПа $^{-1}$	$P$ , $10^{-3}$ МПа $^{-1}$	Литературный источник
AISI 316	447...475	44,5	4	3,6	[12]
ЭИ847	480	60	2,8	2,5	[44]
	450	37	6,6	5,9	[45]
AISI 316	–	–	1,2...1,8	1,1...1,6	[46]
0X16H15M3Б	395...410	79	17,7	16,0	[47]
		88	7,0	6,3	
		94	5,3	4,6	
304L	438...557	25...39	–	20,7	[38]

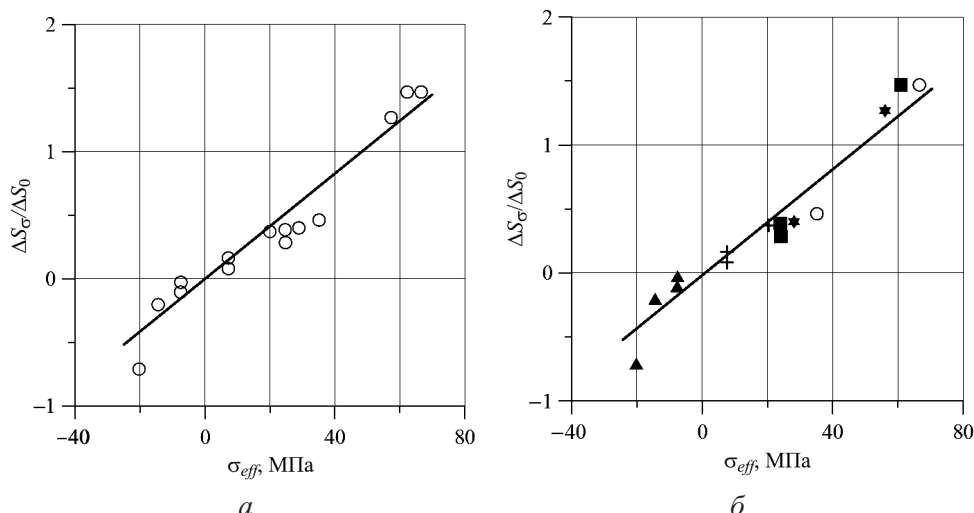


Рис. 3. Зависимость  $\Delta S_\sigma / \Delta S_0$  от эффективного напряжения  $\sigma_{eff}$  при представлении экспериментальных данных из табл. 1 без обозначения напряженного состояния – *a* и с обозначением – *б* ( $\blacktriangle$  – 0/-1;  $\star$  – 1/1;  $+$  – 1/-1;  $\blacksquare$  – 0/1, 1/0;  $\circ$  – 2/1). (Сплошные линии – аппроксимация экспериментальных данных уравнением (5) при  $f(\sigma_m, \sigma_{eq}) = \sigma_{eff}$ .)

С учетом того, что в газонаполненных тонкостенных трубках радиальная компонента напряжений  $\sigma_r \approx 0$ , а окружная компонента  $\sigma_\theta = 2\sigma_z$ , получим  $\sigma_m = \sigma_\theta/2$ ,  $\sigma_{eq} = (\sqrt{3}/2)\sigma_\theta$ . Подставляя эти значения в уравнение (6) и учитывая, что  $\eta = 0,15$ , имеем

$$P = 0,9P_1. \quad (7)$$

В табл. 2 представлены также значения  $P$ , рассчитанные по формуле (7) [12, 44–47] и полученные на базе экспериментальных данных [38]. Как видно,

величина  $P = 20,7 \cdot 10^{-3}$  МПа $^{-1}$  существенно выше значений, рассчитанных по формуле (7). Учитывая, что завышенное значение  $P$  будет приводить к заниженному уровню напряжений, обусловленных градиентом распухания в элементе конструкции, для расчета рекомендуется использовать среднюю по данным табл. 2 величину  $P = P_{\text{ср}}$ , которая составляет  $P_{\text{ср}} = 8 \cdot 10^{-3}$  МПа $^{-1}$ .

**4. Обработка экспериментальных данных по радиационной ползучести.** В общем случае скорость радиационной ползучести может быть рассчитана по формуле [11, 48, 49]

$$\xi_{eq}^c = \left( B_0 \frac{dD}{dt} + \omega \dot{S}_w \right) \sigma_{eq}, \quad (8)$$

где  $\xi_{eq}^c = d\varepsilon_{eq}^c / dt$ ;  $d\varepsilon_{eq}^c$  – интенсивность приращения деформации ползучести;  $t$  – время;  $B_0$ ,  $\omega$  – константы материала, слабо зависящие от температуры;  $dD/dt$  – скорость набора повреждающей дозы, сна/с;  $\sigma_{eq}$  – интенсивность напряжений, МПа; под  $\dot{S}_w$  будем понимать либо скорость полного распухания  $\dot{S}$ , либо скорость свободного распухания  $\dot{S}_0$ , с $^{-1}$ .

Целью настоящего раздела является выяснение, какой из параметров:  $\dot{S}$  или  $\dot{S}_0$  наиболее адекватно описывает радиационную ползучесть, а также определение коэффициентов  $B_0$  и  $\omega$  на основании экспериментальных данных, представленных в разд. 2 и в некоторых литературных источниках.

Как было показано в разд. 2, измерения изменения диаметра трубок были выполнены с большими погрешностями. Для анализа радиационной ползучести можно использовать только имеющиеся в табл. 1 нормированные по  $\Delta S_0$  значения приращения осевой девиаторной компоненты деформации ползучести ( $\Delta e'_L / \Delta S_0$ ). Учитывая это, а также то, что данные о сдвиговой компоненте деформации ползучести  $\gamma$  отсутствуют, оценка параметров в уравнении (8) может быть выполнена только на основании результатов, полученных для случаев осевого растяжения (0/1) и осевого сжатия (0/-1):  $d\varepsilon_{eq}^c = |\Delta e'_L|$ ,  $\Delta e'_{eq}^c = |\Delta e'_L|$ .

Представляя уравнение (8) в конечных разностях при  $\sigma_{eq} = \text{const}$  и учитывая, что  $\Delta e'_{eq}^c = |\Delta e'_L|$ , получаем

$$\frac{|\Delta e'_L|}{\sigma_{eq} \Delta D} = B_0 + \omega \frac{\Delta S_w}{\Delta D}. \quad (9)$$

Согласно данным [34, 46] коэффициент  $B_0$  для аустенитных сталей может быть принят равным  $1 \cdot 10^{-6}$  (МПа · сна) $^{-1}$ .

Экспериментальные данные ползучести, представленные в табл. 3, были аппроксимированы уравнением (9) при  $\Delta S_w = \Delta S_0$  (рис. 4). Коэффициент детерминации  $R^2$  между экспериментальными данными и зависимостью (9)

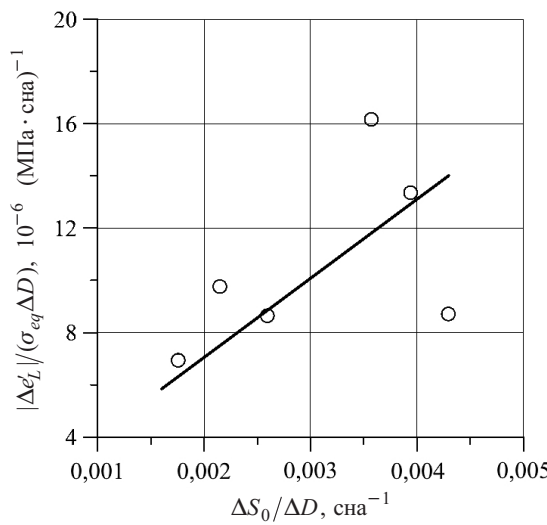
## Таблица 3

Данные для нахождения коэффициента  $\omega$  в уравнении радиационной ползучести [38]

Тип напряженного состояния	№ образца	$S_{\text{н}}$	$S_{\text{к}}$	$\frac{\Delta S_0}{\Delta S_0}$	$\Delta S_0$	$\frac{\Delta e'_L}{\Delta S_0}$
0/1	42	0,0488	0,0716	0,3861	0,0164	0,1900
0/1	43	0,0272	0,0447	0,2852	0,0136	0,2600
0/-1	51	0,0829	0,0882	-0,7096	0,0183	-0,6892
0/-1	52	0,0787	0,0874	-0,1044	0,0097	-0,2233
0/-1	53	0,0557	0,0769	-0,0271	0,0218	-0,1888
0/-1	55	0,0716	0,0891	-0,2027	0,0219	-0,2197

Тип напряженного состояния	№ образца	$\Delta e'_L$	$\sigma_{eq}$ , МПа	$\Delta D$ , сна	$\frac{ \Delta e'_L }{\sigma_{eq} \Delta D}$ , $10^{-6}$ (МПа · сна) $^{-1}$	$\frac{\Delta S_0}{\Delta D}$ , сна $^{-1}$	$\frac{\Delta S}{\Delta D}$ , сна $^{-1}$
0/1	42	0,0031	57,0	6,34	8,6	0,00259	0,00360
0/1	43	0,0035	57,2	6,34	9,8	0,00215	0,00276
0/-1	51	-0,0126	152,3	5,11	16,2	0,00357	0,00102
0/-1	52	-0,0022	56,5	5,53	6,9	0,00176	0,00157
0/-1	53	-0,0041	55,7	5,53	13,4	0,00394	0,00384
0/-1	55	-0,0048	108,3	5,11	8,7	0,00430	0,00344

Рис. 4. Зависимость  $|\Delta e'_L| / (\sigma_{eq} \Delta D)$  от  $\Delta S_0 / \Delta D$ . (Точки – экспериментальные данные; сплошная линия – аппроксимация экспериментальных данных уравнением (9) при  $\Delta S_w = \Delta S_0$ .)

при  $\Delta S_w = \Delta S_0$  равен 0,12. Следовательно, допущение  $\Delta S_w = \Delta S_0$  в уравнении (9) не обеспечивает достаточно адекватного описания радиационной ползучести.

На рис. 5 представлены экспериментальные данные и их аппроксимация уравнением (9) при  $\Delta S_w = \Delta S$ . Как видно, все точки, кроме одной (темная точка для образца № 51), группируются около прямой. Кроме того, эта точка явно выпадает из множества остальных точек. При обработке экспериментальных данных она была исключена из рассмотрения. Коэффициент детерминации  $R^2$  между экспериментальными данными и зависимостью (9) при  $\Delta S_w = \Delta S$  равен 0,33, что свидетельствует об умеренной силе связи между экспериментальными данными и уравнением (9). Следовательно, использование в формуле (8) в качестве  $\Delta S_w$  значения  $\Delta S$  позволяет более адекватно описать радиационную ползучесть, чем использование  $\Delta S_0$ . Таким образом, можно заключить, что скорость ползучести зависит не только от  $\sigma_{eq}$ , но и от  $\sigma_m$ , так как  $\Delta S$  зависит также от  $\sigma_m$ . Иными словами, девиаторные компоненты деформации ползучести зависят как от девиаторных компонент напряжений, так и от шаровой компоненты. Такой вывод не является общепринятым в классических теориях пластичности и ползучести, но соответствует теоретической модели [39] и экспериментальным результатам [38].

Обработка экспериментальных данных методом наименьших квадратов позволила определить параметр  $\omega = 2,7 \cdot 10^{-3} \text{ МПа}^{-1}$ .

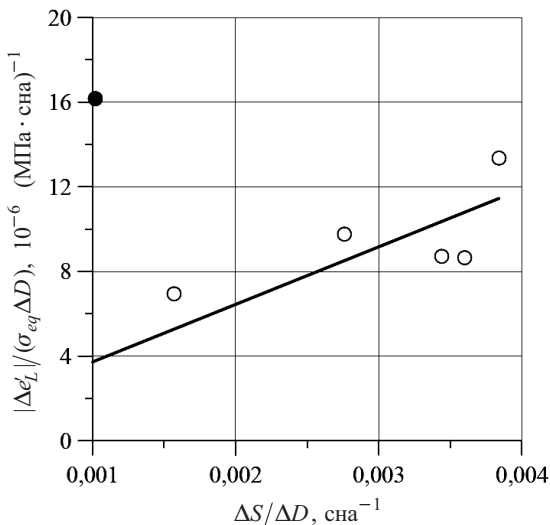


Рис. 5. Зависимость  $|\Delta\epsilon'_L| / (\sigma_{eq} \Delta D)$  от  $\Delta S / \Delta D$ . (Точки – экспериментальные данные; сплошная линия – аппроксимация экспериментальных данных уравнением (9) при  $\Delta S_w = \Delta S$ .)

Теперь определим параметр  $\omega$  на основании экспериментальных данных, приведенных в некоторых литературных источниках.

В работе [34] для стали 08Х18Н10Т использовался параметр  $B_\Sigma = B_0 + \omega(dS_0/dD) = (1,0 \dots 7,0) \cdot 10^{-6} (\text{МПа} \cdot \text{сна})^{-1}$  при температурах облучения  $T_{обл} = 290 \dots 530^\circ\text{C}$  и повреждающих дозах  $D$  до 56 сна. Согласно этим данным целесообразно принять, что при  $T_{обл} = 530^\circ\text{C}$  и  $D = 56$  сна параметр  $B_\Sigma = 7,0 \cdot 10^{-6} (\text{МПа} \cdot \text{сна})^{-1}$ . В соответствии с [34, 46] величина  $B_0 = 1 \cdot 10^{-6} (\text{МПа} \cdot \text{сна})^{-1}$ .

О среднененная величина  $dS_0/dD$  в диапазоне  $D = 0...56$  сна может быть рассчитана по формуле [34]

$$\frac{dS_0}{dD} \approx \frac{S_0}{D}. \quad (10)$$

Тогда получим

$$\omega = \frac{B_\Sigma - B_0}{\left(\frac{S_0}{D}\right)}, \quad (11)$$

где  $B_\Sigma = 7,0 \cdot 10^{-6}$  (МПа · сна) $^{-1}$ ;  $B_0 = 1 \cdot 10^{-6}$  (МПа · сна) $^{-1}$ ;  $S_0$  – величина свободного распухания при  $T_{обл} = 530^\circ\text{C}$  и  $D = 56$  сна.

Согласно [34] свободное распухание  $S_0$  для стали 08Х18Н10Т может быть рассчитано по формуле

$$S_0 = c_D D^n \exp(-r(T_{обл} - T_{max})^2), \quad (12)$$

где  $T_{max}$  – температура максимального распухания,  $T_{max} = 470^\circ\text{C}$ ;  $c_D$ ,  $n$  и  $r$  – коэффициенты,  $c_D = 1,035 \cdot 10^{-4}$  сна $^{-n}$ ,  $n = 1,88$ ,  $r = 1,825 \cdot 10^{-4}$  ( $^\circ\text{C}$ ) $^{-2}$ .

Подставив уравнение (12) в формулу (11), при  $T_{обл} = 530^\circ\text{C}$  и  $D = 56$  сна получим  $\omega = 3,2 \cdot 10^{-3}$  МПа $^{-1}$ .

Таким образом, выполненные оценки на основании различных экспериментальных данных и по разным процедурам дают близкие величины  $\omega$  для сталей близких классов, например стали 304 (российский аналог – Х18Н9) и Х18Н10Т (зарубежный аналог – сталь 321). Следовательно, оценка величины  $\omega = (2,7 \dots 3,2) \cdot 10^{-3}$  МПа $^{-1}$  является достаточно надежной.

**5. Обсуждение результатов.** Анализ полученных данных показывает, что на распухание влияет как гидростатическая компонента напряжений  $\sigma_m$ , так и интенсивность напряжений  $\sigma_{eq}$ , т.е. параметр, контролирующий касательные напряжения. Приведем физическую интерпретацию влияния  $\sigma_m$  и  $\sigma_{eq}$  на радиационное распухание.

На рис. 6 представлена типичная зависимость среднего диаметра пор и их концентрации от величины распухания [47]. Видно, что при распухании, меньшем некоторой величины  $S^* \approx 1$  ( $S < S^* \approx 1$ ), концентрация пор резко увеличивается, в то время как их средний диаметр практически не изменяется. При  $S > S^* \approx 1$  концентрация пор выходит на насыщение и даже начинает несколько падать, а средний диаметр интенсивно растет. Такой характер зависимости обусловлен следующими обстоятельствами. При  $S < S^*$  распухание увеличивается в основном за счет процесса зарождения пор, приводящего к повышению их концентрации, при  $S > S^*$  – за счет роста пор (увеличения их диаметра). Уменьшение концентрации пор при  $S > S^*$  происходит вследствие их объединения. При этом процесс зарождения пор может продолжаться, однако уменьшение их концентрации в результате объединения выше, чем при зарождении новых.

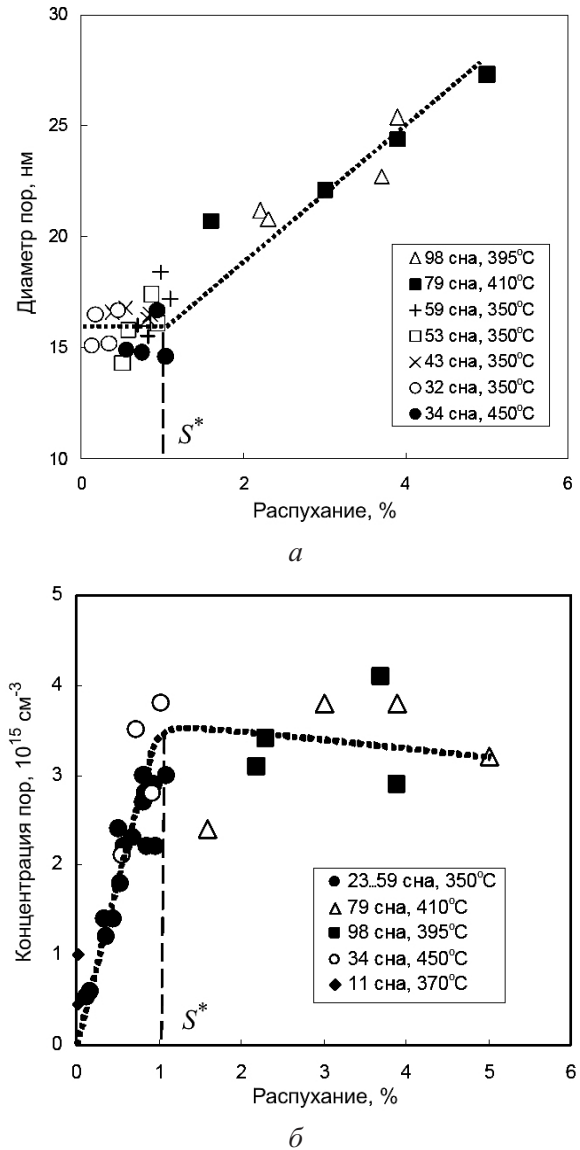


Рис. 6. Зависимость среднего диаметра пор (а) и их концентрации (б) от распухания аустенитной стали 0Х16Н15М3Б, облученной в реакторе БОР-60 до различных повреждающих доз ( $T_{\text{обл}} = 350\ldots450^\circ\text{C}$ ) [47].

Действие касательных напряжений (в общем случае девиаторных компонент напряжений) приводит к активизации движения дислокаций и, следовательно, к формированию дислокационных скоплений. Если дислокационное скопление локализовано у частицы второй фазы с низкой прочностью связи с матрицей, то здесь может зародиться пора вследствие разрушения этой связи. Значит, действие девиаторных компонент напряжений приводит к увеличению концентрации пор.

Рассмотрим другой механизм влияния девиаторных компонент напряжений на усиление распухания [50]. Дислокационное скопление можно представ-

вить как дислокацию мощностью  $Nb$ , где  $N$  – количество дислокаций в скоплении;  $b$  – вектор Бюргерса. Такая дислокация имеет радиус захвата межузельного атома в  $N$  раз больше, чем отдельная дислокация [51]. В этом случае объем захвата для супердислокации единичной длины составляет  $\sim \pi(Nb)^2$ , а объем захвата для  $N$  отдельных дислокаций –  $N\pi b^2$ . Видно, что объем захвата дислокационного скопления в  $N$  раз больше, чем для  $N$  отдельных дислокаций. Следовательно, дислокационные структуры типа скоплений будут обеспечивать большее поглощение межузельных атомов, чем отдельные дислокации. В результате повысится концентрация вакансий и, следовательно, увеличится скорость зарождения пор вследствие взаимодействия кластеров вакансий с газовыми атомами [22, 52, 53]. Ясно, что увеличение концентрации вакансий приведет также к ускорению роста пор за счет диффузионных процессов.

Таким образом, девиаторные компоненты напряжений ускоряют зарождение и рост пор. Гидростатическая компонента напряжений  $\sigma_m$ , как указывалось выше, ускоряет (при  $\sigma_m > 0$ ) или замедляет (при  $\sigma_m < 0$ ) рост пор.

Проведенный анализ показывает, что при  $S < S^* \approx 1\%$  доминирующее влияние на распухание оказывает процесс зарождения пор и, следовательно, интенсивность напряжений  $\sigma_{eq}$ , при  $S > S^* \approx 1\%$  – увеличение пор, хотя их зарождение продолжает влиять на рост распухания; концентрация пор уменьшается за счет их объединения. Таким образом, при  $S > S^* \approx 1\%$  на распухание влияет как  $\sigma_m$ , так и  $\sigma_{eq}$ . Исходя из указанных закономерностей при  $S < S^*$  коэффициент  $\eta$ , по-видимому, близок к единице, при  $S > S^*$  он значительно уменьшается, так как основное влияние оказывает  $\sigma_m$ .

Отметим, что определенный коэффициент  $\eta$  соответствует влиянию напряжений на распухание при  $S > S^*$ .

## Выводы

1. Получена зависимость, описывающая влияние различного вида напряженного состояния на радиационное распухание. Показано, что влияние напряжений может быть сведено к одному параметру –  $\sigma_{eff}$ .

2. Анализ механизмов зарождения и роста вакансационных пор свидетельствует, что при  $S < \approx 1\%$  основное влияние на распухание оказывают девиаторные компоненты напряжений, т.е.  $\sigma_{eq}$ . В этом случае  $\eta \rightarrow 1$ . При  $S > \approx 1\%$  на распухание влияют как девиаторная, так и шаровая компоненты напряжений. В результате выполненных оценок получено  $\eta = 0,15$ .

3. Установлено, что радиационная ползучесть лучше описывается при включении в уравнение ползучести скорости полного распухания, чем скорости свободного распухания.

4. Обобщение имеющихся данных дает возможность оценить значение коэффициента  $P$  в уравнении (2) для аустенитных сталей при  $T_{обл} \leq 550^\circ\text{C}$ :  $P = 8 \cdot 10^{-3} \text{ МПа}^{-1}$ .

5. Для стали типа X18H10T определено значение коэффициента  $\omega$  в уравнении (8):  $\omega = (2,7 \dots 3,2) \cdot 10^{-3} \text{ МПа}^{-1}$ .

Часть исследований, представленных в настоящей работе, выполнена в рамках проекта МНТЦ 3973.

## Резюме

Представлено результати аналізу експериментальних даних щодо впливу виду напруженого стану на радіаційне розпухання аустенітних сталей. Сформульовано визначальне рівняння, що дозволяє описувати вплив об'ємного напруженого стану на розпухання аустенітних сталей з урахуванням різних внесків кульової і девіаторної компонент напружень. Запропоновано фізичну інтерпретацію отриманої залежності радіаційного розпухання від напруженого стану. Уточнено залежність радіаційної повзучості від розпухання з урахуванням напруженого стану. Визначено значення коефіцієнтів, які входять у сформульоване визначальне рівняння і у залежність радіаційної повзучості.

1. Шарый Н. В., Семишикин В. П., Пиминов В. А., Драгунов Ю. Г. Прочность основного оборудования и трубопроводов реакторных установок ВВЭР. – М.: Изд-во АТ, 2004. – 496 с.
2. Усынин Г. Б., Кусмарцев Е. В. Реакторы на быстрых нейтронах: Учеб. пособие для вузов. – М.: Энергоатомиздат, 1985. – 288 с.
3. Марголин Б. З., Курсевич И. П., Сорокин А. А. и др. К вопросу о радиационном распухании и радиационном охрупчивании аустенитных сталей. Ч. I. Экспериментальные результаты // Вопр. материаловедения. – 2009. – № 2 (58). – С. 89 – 98.
4. Марголин Б. З., Курсевич И. П., Сорокин А. А. и др. К вопросу о радиационном распухании и радиационном охрупчивании аустенитных сталей. Ч. II. Физические и механические закономерности охрупчивания // Там же. – С. 99 – 111.
5. Марголин Б. З., Курсевич И. П., Сорокин А. А. и др. Охрупчивание и трещиностойкость высокооблученных аустенитных сталей для элементов ВКУ ВВЭР. Сообщ. 1. Связь радиационного распухания с радиационным охрупчиванием – экспериментальные результаты // Пробл. прочности. – 2009. – № 6. – С. 5 – 16.
6. Марголин Б. З., Курсевич И. П., Сорокин А. А. и др. Охрупчивание и трещиностойкость высокооблученных аустенитных сталей для элементов ВКУ ВВЭР. Сообщ. 2. Связь радиационного распухания с радиационным охрупчиванием – физические и механические закономерности // Там же. – 2010. – № 2. – С. 25 – 38.
7. Neustroev V. S. and Garner F. A. Very high swelling and embrittlement observed in a Fe–18Cr–10Ni–Ti hexagonal fuel wrapper irradiated in the BOR-60 fast reactor // Fusion Mater. – 2007. – 43. – P. 109 – 122.
8. Dubuisson P. H., Seran J. L., and Soulard P. Irradiation embrittlement of reactors internals materials // Effect of Irradiation on Water Reactors Internals (June 1997, Paris), AMES Report No. 11, 1997. – Vol. 3. – P. 30 – 34.

9. Bullough R., Finnis M. H., and Wood M. Y. A theory of irradiation creep and thermal creep by dislocation climb // J. Nucl. Mater. – 1981. – **103-104**, No. 1-3. – P. 1263 – 1268.
10. Bates J. F. and Gilbert E. R. Experimental evidence for stress enhanced swelling // Ibid. – 1976. – **59**, No. 2. – P. 95 – 102.
11. Flinn J. E., McVay G. L., and Walters L. C. In-reactor deformation of solution annealed type 304L stainless steel // Ibid. – 1977. – **65**, No. 3. – P. 210 – 223.
12. Bates J. F. and Gilbert E. R. Effects of stress on swelling in 316 stainless steel // Ibid. – 1978. – **71**. – P. 286 – 292.
13. Garner F. A., Gilbert E. R., and Porter D. L. Stress-enhanced swelling of metals during irradiation // ASTM STP 725. – 1981. – P. 680 – 697.
14. Garner F. A. Irradiation performance of cladding and structural steels in liquid metal reactors // Materials Science and Technology: A Comprehensive Treatment. – VCH Publishers, 1994. – Vol. 10A. – P. 419 – 543.
15. Неструев В. С., Островский З. Е., Шамардин В. К. Влияние напряжений на радиационное распухание и параметры вакансационной пористости облученных нейтронами austenитных сталей // Физика металлов и металловедение. – 1998. – **86**, вып. 1. – С. 115 – 125.
16. Ehrlich K. Irradiation creep and interrelation with swelling in austenitic stainless steels // J. Nucl. Mater. – 1981. – **100**, No. 1-3. – P. 149 – 166.
17. Porter D. L., Takata M. L., and Wood E. L. Direct evidence for stress-enhanced swelling in type 316 stainless steel // Ibid. – 1983. – **116**, No. 2-3. – P. 272 – 276.
18. Hübner R. and Ehrlich K. Swelling and in-pile creep of neutron irradiated 15Cr15NiTi austenitic steels in the temperature range of 400 to 600°C // Proc. Technical Committee Meeting “Influence of High Dose Irradiation on Core Structural and Fuel Materials in Advanced Reactors” (June 16–19, 1997, Obninsk). – IAEA-TECDOC-1039, 1998. – P. 223 – 230.
19. Gawthorne C. and Fulton E. J. Voids in irradiated stainless steel // Nature. – 1967. – **216**, No. 5. – P. 575 – 576.
20. Harkness S. D. and Che Yu-Li. A model for void formation in metals irradiated in fast neutron environment // Proc. IAEA Symp. “Radiation Damage in Reactor Materials” (June 2–6, 1969, Vienna). – IAEA, 1969. – Vol. 2. – P. 189 – 214.
21. Brailsford A. D. and Bullough R. The rate theory of swelling due to void growth in irradiated metals // J. Nucl. Mater. – 1972. – **44**, No. 2. – P. 121 – 135.
22. Konobeev Yu. V., Subbotin A. V., and Golubov S. I. The theory of void and interstitial dislocation loop growth in irradiated metals // Rad. Effects. – 1973. – **20**, Issue 4. – P. 265 – 271.
23. Конобеев Ю. В., Печенкин В. А. О механизме зарождения вакансационных пор в металлах и под облучением // Вопр. атом. науки и техники. Сер. Физика радиационных повреждений и радиационное материаловедение. – 1978. – Вып. 1. – С. 3 – 7.

24. Claudson T. T., Barker R. W., and Fish R. L. The effects of fast flux irradiation on the mechanical properties and dimensional stability of stainless steel // Nucl. Appl. Technol. – 1970. – **9**. – P. 10 – 23.
25. Foster J. P. and Strain R. V. Empirical swelling equations for solution annealed type 304 stainless steel // Nucl. Technol. – 1974. – **24**. – P. 93 – 98.
26. Bates J. F. and Straalsund J. L. Empirical representation of radiation-induced swelling of solution treated type 304 stainless steel // Ibid. – 1972. – **14**. – P. 292 – 298.
27. Fish R. L., Straalsund J. L., Hunter C. W., and Holmes J. J. Swelling and tensile properties evolution of high-fluence EBR-II thimbles // ASTM STP 529. – 1973. – P. 149 – 164.
28. Weiner R. A. and Boltax A. Comparison of high-fluence swelling behavior of austenitic stainless steels // ASTM STP 725. – 1981. – P. 484 – 499.
29. Конобеев Ю. В., Печенкин В. А. Состояние теории радиационной пористости в металлах // Радиационные дефекты в металлических кристаллах. – Алма-Ата: Наука, 1978. – С. 187 – 210.
30. Karaulov V. N., Blynski A. P., Yakovlev I. L., and Kononova E. V. Assemblies and fuel pin behavior under irradiation in FBR-350 // Proc. Technical Committee Meeting “Influence of High Dose Irradiation on Core Structural and Fuel Materials in Advanced Reactors” (June 16–19, 1997, Obninsk). – IAEA-TECDOC-1039, 1998. – P. 93 – 105.
31. Неустровев В. С., Островский З. Е., Шамардин В. К., Яковлев В. В. Экспериментальное исследование разрушения облученных шестиугольных чехлов ТВС реактора БОР-60 // Сб. докл. V Международной конференции по реакторному материаловедению (8–12 сент. 1997, Димитровград). – Димитровград, 1998. – Т. 2, ч. 2. – С. 42 – 66.
32. Bloom E. E., Stiegler J. O., and McHargue C. J. Radiation damage in annealed type 304 stainless steel // Rad. Effects. – 1972. – **14**, No. 3-4. – P. 231 – 243.
33. Быков В. Н., Конобеев Ю. В. Радиационные повреждения конструкционных материалов быстрых реакторов // Атомная энергия. – 1977. – **43**, вып. 1. – С. 20 – 27.
34. Васина Н. К., Марголин Б. З., Гуленко А. Г., Курсевич И. П. Радиационное распускание нержавеющих сталей: влияние различных факторов. Обработка экспериментальных данных и формулировка определяющих уравнений // Вопр. материаловедения. – 2006. – № 4 (48). – С. 69 – 89.
35. Porter D. L. and Garner F. A. Swelling of AISI type 304L stainless steel in response to simultaneous variation in stress and displacement rate // Proc. 12th Int. Symp. “Effects of Radiation on Materials”. – ASTM 870. – 1985. – P. 212 – 220.
36. Sahu H. K. and Yung P. Void swelling and irradiation creep in stainless steel under compressive and tensile stress // J. Nucl. Mater. – 1985. – **136**, No. 2-3. – P. 154 – 158.
37. Lauritzen T., Vaidyanathan S., Bell W. L., and Yang W. J. S. Irradiation-induced swelling in AISI 316 steel: Effect of tensile and compressive stresses //

- Proc. 13th Int. Symp. "Radiation-Induced Changes in Microstructure". – ASTM STP 955. – 1987. – P. 101 – 113.
38. Hall M. M., Jr., and Flinn J. E. Stress state dependence of in-reactor creep and swelling. Pt. II: Experimental results // J. Nucl. Mater. – 2010. – **396**. – P. 119 – 129.
39. Hall M. M., Jr. Stress state dependence of in-reactor creep and swelling. Pt. I: Continuum plasticity model // Ibid. – 2010. – **396**. – P. 112 – 118.
40. Hull D. and Rimmer D. E. The growth of grain-boundary voids under stress // Phil. Mag. – 1959. – **4**. – P. 673 – 680.
41. Speight M. V. and Beere W. Vacancy potential and void growth on grain boundaries // Metal. Sci. – 1975. – **9**. – P. 180 – 191.
42. Chen I. W. and Argon A. S. Diffusive growth of grain-boundary cavities // Acta Met. – 1981. – **29**. – P. 1759 – 1768.
43. Needleman A. and Rice J. R. Plastic creep flow effect in diffusive cavitation of grain boundaries // Ibid. – 1980. – **28**. – P. 1315 – 1332.
44. Vorobjev A. N., Budylkin N. I., et al. Irradiation creep and stress-enhanced swelling of Fe–16Cr–15Ni–Nb austenitic stainless steel in BN-350 // J. Nucl. Mater. – 1998. – **258-263**. – P. 1618 – 1622.
45. Shamardin V. K., Neustroev V. S., Golovanov V. N., et al. Irradiation creep and swelling of 0Kh16N15M3B and its modification 0Kh16N15M3BR steel // Proc. 14 Int. Symp. "Effects of Radiation on Materials". – ASTM STP 1046. – 1990. – P. 753 – 765.
46. Забудько Л. М., Лихачев Ю. И., Прошкин А. А. Работоспособность ТВС быстрых реакторов. – М.: Энергоатомиздат, 1988. – 170 с.
47. Neustroev V. S., Ostrovsky Z. E., and Shamardin V. K. Experimental investigation of stress effect on swelling and microstructure of Fe–16Cr–15Ni–3Mo–Nb austenitic stainless steel under low-temperature irradiation up to high damage dose in the BOR-60 reactor // J. Nucl. Mater. – 2004. – **329-333**. – P. 119 – 129.
48. Heald P. T. and Speight M. V. Steady-state irradiation creep // Phil. Mag. – 1974. – **29**, No. 5. – P. 1075 – 1080.
49. Gittus J. H. Theory of dislocation-creep due to the Frenkel defects or interstitials produced by the bombardment with energetic particles creep // Ibid. – 1972. – **25**. – P. 345 – 354.
50. Wolfer W. G., Ashkin M., and Boltax A. Creep and swelling deformation in structural materials during fast-neutron irradiation // ASTM STP 570: "Properties of Reactor Structural Alloys after Neutron or Particle Irradiation". – 1975. – P. 233 – 258.
51. Хирт Дж., Ломе И. Теория дислокаций. – М.: Атомиздат, 1972. – 598 с.
52. Russell K. C. Nucleation of voids in irradiated materials // Acta Met. – 1971. – **19**, No. 8. – P. 753 – 758.
53. Wiedersich H. On the theory of void formation during irradiation // Rad. Effects. – 1972. – **12**. – P. 111.

Поступила 27. 09. 2011